

**PENGARUH KONSENTRASI H<sub>2</sub>O<sub>2</sub> DAN RASIO MOL  
FE<sup>2+</sup>/H<sub>2</sub>O<sub>2</sub> TERHADAP EFEKTIVITAS PENGOLAHAN  
LIMBAH WARNA TEKSTIL DYA DENGAN  
TEKNOLOGI FENTON SISTEM KONTINU**

**Laporan Penelitian**

Disusun untuk memenuhi tugas akhir guna mencapai gelar  
sarjana di bidang Ilmu Teknik Kimia

Oleh:

**Steven Alexander Wiranata (2017620056)**  
**Samuel Kevin Chrisda Salijo (2017620074)**

Pembimbing:

**Tedi Hudaya, S.T., M. Eng.Sc.,Ph.D**

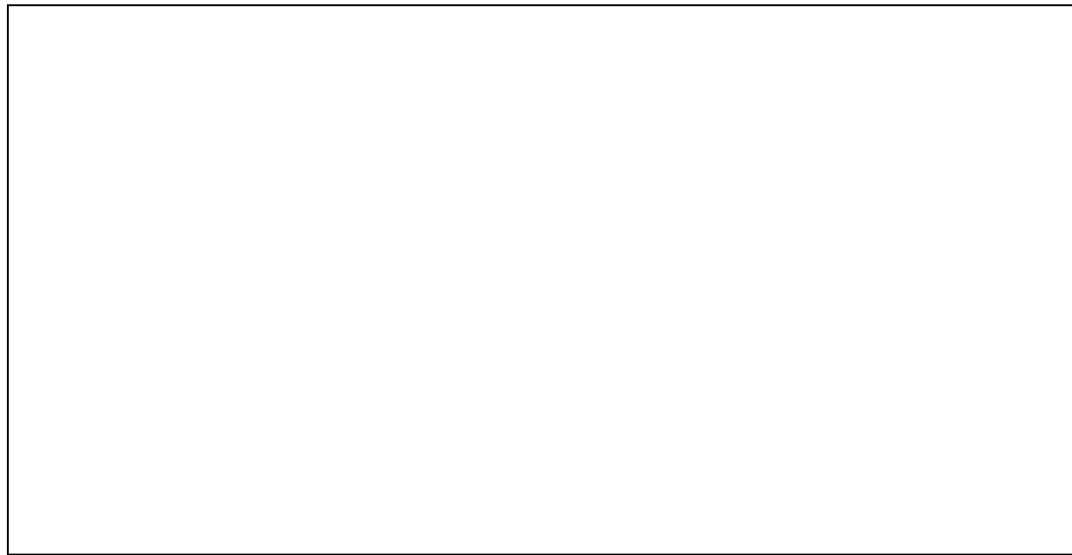


**JURUSAN TEKNIK KIMIA  
FAKULTAS TEKNOLOGI INDUSTRI  
UNIVERSITAS KATOLIK PARAHYANGAN  
BANDUNG  
2022**

## **LEMBAR PENGESAHAN**

**JUDUL : PENGARUH KONSENTRASI H<sub>2</sub>O<sub>2</sub> DAN RASIO MOL FE<sup>2+</sup>/H<sub>2</sub>O<sub>2</sub>  
TERHADAP EFEKTIVITAS PENGOLAHAN LIMBAH WARNA  
TEKSTIL DYA DENGAN TEKNOLOGI FENTON SISTEM KONTINU**

CATATAN :



Telah diperiksa dan disetujui oleh:  
Bandung, 19 Januari 2022

Pembimbing Tunggal



Tedi Hudaya, S.T., M. Eng.Sc.,Ph.D

## LEMBAR REVISI

JUDUL : PENGARUH KONSENTRASI  $H_2O_2$  DAN RASIO MOL  $Fe^{2+}/H_2O_2$   
TERHADAP EFEKTIVITAS PENGOLAHAN LIMBAH WARNA  
TEKSTIL DYA DENGAN TEKNOLOGI FENTON SISTEM KONTINU

CATATAN :

Telah diperiksa dan disetujui oleh:  
Bandung, 25 Januari 2022

Dosen Penguji,

Herry Saroso, S.T., M.T.M., Ph.D

Ir. Y.I.P. Arry Miryanti, M.Si.



JURUSAN TEKNIK KIMIA  
FAKULTAS TEKNOLOGI INDUSTRI  
UNIVERSITAS KATOLIK PARAHYANGAN

SURAT PERNYATAAN

Saya yang bertanda tangan di bawah ini:

- |         |   |                             |
|---------|---|-----------------------------|
| 1. Nama | : | Steven Alexander Wiranata   |
| NPM     | : | 2017620056                  |
| 2. Nama | : | Samuel Kevin Chrisda Salijo |
| NPM     | : | 2017620074                  |

dengan ini menyatakan bahwa laporan penelitian dengan judul:

**Pengaruh Konsentrasi H<sub>2</sub>O<sub>2</sub> dan Rasio Mol Fe<sup>2+</sup>/H<sub>2</sub>O<sub>2</sub> terhadap Efektivitas Pengolahan Limbah Warna Tekstil DYA dengan Teknologi Fenton Sistem Kontinu**  
adalah hasil pekerjaan saya, dan seluruh ide, pendapat, materi dari sumber lain, telah dikutip dengan cara penulisan referensi yang sesuai.

Pernyataan ini saya buat dengan sebenar-benarnya dan jika pernyataan ini tidak sesuai dengan kenyataan maka saya bersedia menanggung sanksi sesuai dengan peraturan yang berlaku.

Bandung, 19 Januari 2022



Steven Alexander Wiranata.  
(2017620056)



Samuel Kevin Chrisda Salijo  
(2017620074)

## INTISARI

Limbah pewarna tekstil sintetik mengandung senyawa *non-biodegradable* seperti pewarna tekstil yang tidak bisa diuraikan dengan metode biologis. Salah satu pewarna tekstil yang sering digunakan dalam industri adalah *Dianix Yellow Ace* (DYA). Limbah pewarna tekstil perlu dilakukan pengolahan penguraian sebelum dapat dibuang ke lingkungan. Metode *advanced oxidation process* (AOP) dapat menjadi solusi untuk menguraikan zat warna pada limbah cair industri tekstil yang termasuk dalam senyawa *nonbiodegradable* dengan melibatkan proses pembentukan  $\cdot\text{OH}$  (radikal hidroksil) sebagai oksidator utama yang dapat mendegradasi zat warna.

Penelitian ini bertujuan untuk mengkaji pengolahan limbah pewarna tekstil *Dianix Yellow Ace* (DYA) dengan menggunakan metode AOP  $\text{Fe}^{2+}/\text{H}_2\text{O}_2$  terhadap degradasi limbah zat warna. Variasi percobaan yang digunakan meliputi pengaruh kondisi operasi, yaitu konsentrasi  $\text{H}_2\text{O}_2$  awal dan rasio mol  $\text{Fe}^{2+}/\text{H}_2\text{O}_2$  terhadap efektivitas proses pengolahan yang ditandai dengan nilai %removal yang dihasilkan sudah cukup baik atau belum, dan warna hasil pengolahan dengan metode  $\text{Fe}^{2+}/\text{H}_2\text{O}_2$ . Selain itu, penelitian ini juga bertujuan untuk mengkaji kemungkinan penerapan metode  $\text{Fe}^{2+}/\text{H}_2\text{O}_2$  untuk proses pengolahan limbah cair industri tekstil. Limbah pewarna tekstil didekolorisasi dengan metode  $\text{Fe}^{2+}/\text{H}_2\text{O}_2$  hingga batas *biodegradable*, lalu selanjutnya limbah dapat diolah dengan pengolahan limbah secara biologis.

Percobaan ini dilakukan dengan menggunakan reaktor berkapasitas 2,5 L. Percobaan dilakukan dengan sistem kontinu. Percobaan ini dilakukan untuk mencari kondisi efektivitas tertinggi yang ditandai dengan nilai %removal tertinggi. Variasi percobaan yang dilakukan pada penelitian ini adalah konsentrasi  $\text{H}_2\text{O}_2$  awal dan rasio mol  $\text{Fe}^{2+}/\text{H}_2\text{O}_2$ . Konsentrasi  $\text{H}_2\text{O}_2$  divariasikan antara 0,2 %w/w hingga 0,4 %w/w, sedangkan rasio mol  $\text{Fe}^{2+}/\text{H}_2\text{O}_2$  divariasikan pada rentang 1:25 hingga 1:15

Hasil menunjukkan bahwa kondisi operasi degradasi pewarna tekstil *Dianix Yellow Ace* (DYA) dengan konsentrasi  $\text{H}_2\text{O}_2$  awal sebesar 0,3 %w/w dan rasio mol  $\text{Fe}^{2+}/\text{H}_2\text{O}_2$  sebesar 1:15 dengan %removal sebesar 83,98%. Pada kondisi operasi tempuhuan 12 (%-b  $\text{H}_2\text{O}_2 = 0,3$ , tanpa menggunakan  $\text{Fe}^{2+}$ ) %removal yang diperoleh kondisi *steady state* mencapai 46,72%. Penambahan  $\text{H}_2\text{O}_2$  maupun  $\text{Fe}^{2+}$  yang kurang maupun berlebih dapat menurunkan efektivitas penguraian pewarna tekstil. Selain itu, penambahan  $\text{Fe}^{2+}$  memberi pengaruh yang signifikan dalam proses penguraian. Pengolahan limbah warna menggunakan metode AOP  $\text{Fe}^{2+}/\text{H}_2\text{O}_2$  dapat digunakan sebagai alternatif pengolahan limbah dikarenakan karakteristik limbah hasil proses sudah dibawah parameter standar baku mutu dan sudah *biodegradable*.

Kata kunci: limbah tekstil, *dianix yellow ace*, sistem kontinu, *non-biodegradable*,  $\text{Fe}^{2+}/\text{H}_2\text{O}_2$ ,

## *ABSTRACT*

*Synthetic textile dye waste is a non-biodegradable compound such as textile dye that cannot be decomposed by biological methods. One of the textile dyes that is often used in industry is Dianix Yellow Ace (DYA). Textile dye waste needs to be treated with decomposition before it can be discharged into the environment. The Advanced Oxidation Process (AOP) method can be a solution for decomposing substances in textile industry wastewater including non-biodegradable compounds by involving the formation of •OH (hydroxyl radicals) as the main oxidizing agent that can degrade dyestuffs.*

*This study aims to examine the processing of textile dye waste Dianix Yellow Ace (DYA) using the AOP Fe<sup>2+</sup>/H<sub>2</sub>O<sub>2</sub> method for the degradation of dye waste. The experimental variations used include the effect of operating conditions, namely the initial concentration of H<sub>2</sub>O<sub>2</sub> and the mole ratio of Fe<sup>2+</sup>/H<sub>2</sub>O<sub>2</sub> on the effectiveness of the treatment process, which is indicated by the %removal value produced is good enough or not, and the color of the processing result using the Fe<sup>2+</sup>/H<sub>2</sub>O<sub>2</sub> method. In addition, this study also aims to examine the possibility of applying the Fe<sup>2+</sup>/H<sub>2</sub>O<sub>2</sub> method to the textile industry wastewater treatment process. Textile dye waste is decolorized by the Fe<sup>2+</sup>/H<sub>2</sub>O<sub>2</sub> method to a biodegradable limit, then the waste can be treated with biological waste treatment.*

*This experiment was carried out using a reactor with a capacity of 2.5 L. The experiment was carried out with a continuous system. This experiment was conducted to determine the condition of the highest effectiveness which was indicated by the highest % removal value. The experimental variations carried out in this study were the initial H<sub>2</sub>O<sub>2</sub> concentration and the Fe<sup>2+</sup>/H<sub>2</sub>O<sub>2</sub> mole ratio. The concentration of H<sub>2</sub>O<sub>2</sub> was varied between 0.2 %w/w to 0.4 %w/w, while the mole ratio of Fe<sup>2+</sup>/H<sub>2</sub>O<sub>2</sub> was varied in the range of 1:25 to 1:15*

*The results showed that the operating conditions of textile dye degradation Dianix Yellow Ace (DYA) with an initial H<sub>2</sub>O<sub>2</sub> concentration of 0.3 %w/w and a Fe<sup>2+</sup>/H<sub>2</sub>O<sub>2</sub> mole ratio of 1:15 with a %removal of 83.98%. At the operating conditions of 12 (%-b H<sub>2</sub>O<sub>2</sub> = 0.3, without using Fe<sup>2+</sup>) %removal obtained steady state reached 46.72%. The addition of H<sub>2</sub>O<sub>2</sub> and Fe<sup>2+</sup> that is less or excess can reduce the effectiveness of the decomposition of textile dyes. In addition, the addition of Fe<sup>2+</sup> has a significant effect on the decomposition process. Color waste treatment using the AOP Fe<sup>2+</sup>/H<sub>2</sub>O<sub>2</sub> method can be used as an alternative to waste treatment based on quality standard parameters and is already biodegradable.*

*Keywords:* textile waste, dianix yellow ace, continuous system, non-biodegradable, Fe<sup>2+</sup>/H<sub>2</sub>O<sub>2</sub>,

## KATA PENGANTAR

Puji dan syukur penulis sampaikan kepada Tuhan Yang Maha Esa atas segala berkat-Nya sehingga penelitian ini dapat terselesaikan dengan baik. Penelitian ini disusun untuk memenuhi tugas akhir guna mencapai gelar sarjana Strata-1 di bidang Ilmu Teknik Kimia pada Jurusan Teknik Kimia, Fakultas Teknologi Industri, Universitas Katolik Parahyangan, Bandung.

Pada kesempatan ini, penulis ingin menyampaikan ucapan terimakasih atas bantuan dari berbagai pihak, khususnya kepada:

1. Tedi Hudaya, S.T., M.Sc., Ph.D. selaku pembimbing yang telah membimbing, mengarahkan, memotivasi dan memberikan saran yang sangat bermanfaat dalam penyusunan penelitian ini.
2. Seluruh dosen pengajar Jurusan Teknik Kimia, Fakultas Teknologi Industri, Universitas Katolik Parahyangan yang telah memberikan ilmu, informasi, masukan dan bantuan bagi penulis dalam penyusunan penelitian ini.
3. Orang tua dan keluarga yang senantiasa memberikan dukungan, nasihat, motivasi dan doa dalam penyusunan penelitian ini.
4. Rekan-rekan mahasiswa Program Studi Teknik Kimia, Universitas Katolik Parahyangan yang telah memberikan informasi, masukan dan bantuan bagi penulis dalam penyusunan penelitian ini.
5. Pihak lain yang secara langsung maupun tidak langsung telah membantu dalam penyusunan penelitian.

Akhir kata, penulis menyadari bahwa penelitian ini masih terdapat beberapa kekurangan dan jauh dari kata sempurna. Oleh karena itu, penulis sangat mengharapkan adanya kritik dan saran yang membangun bagi penulis agar penelitian ini dapat menjadi lebih baik lagi. Penulis mengucapkan terima kasih dan semoga penelitian ini dapat bermanfaat bagi berbagai pihak.

Bandung, 19 Januari 2022,

Penulis

## **DAFTAR ISI**

HALAMAN COVER .....	i
LEMBAR PENGESAHAN .....	ii
SURAT PERNYATAAN .....	iii
LEMBAR REVISI .....	iv
KATA PENGANTAR .....	v
DAFTAR ISI .....	vi
DAFTAR GAMBAR .....	x
DAFTAR TABEL.....	xii
INTISARI .....	xiii
ABSTRACT .....	xiv
BAB I PENDAHULUAN .....	1
1.1 Latar Belakang .....	1
1.2 Tema Sentral Masalah .....	2
1.3 Identifikasi Masalah .....	2
1.4 Premis .....	2
1.5 Tujuan Penelitian .....	2
1.6 Manfaat penelitian .....	2
BAB II TINJAUAN PUSTAKA .....	5
2.1 Limbah .....	5
2.2 Limbah Padat .....	5
2.3 Limbah Cair .....	6
2.3.1 Karakteristik Limbah Cair .....	6
2.3.2 Karakteristik Air Limbah Industri Tekstil .....	7
2.3.2.1 Karakteristik Fisika .....	7
2.3.2.2 Karakteristik Kimia .....	8

2.3.2.3 Karakteristik Biologi .....	8
2.3.2.4. Limbah B3 (Bahan Berbahaya dan Beracun) .....	9
2.3.3. Limbah Pewarna Tekstil .....	10
2.4 Teknik Pengolahan Limbah Berwarna .....	11
2.4.1 Netralisasi, Koagulasi-Flokulasi dan Adsorbsi .....	11
2.4.2 <i>Advance Oxidation Process</i> (AOP) .....	12
2.4.2.1 Metode $H_2O_2/Fe^{2+}$ .....	14
2.4.2.2. Metode UV/ $H_2O_2$ .....	15
2.4.2.3. Ozone ( $O_3$ )/UV .....	17
2.4.2.4. $O_3/H_2O_2/UV$ Proses .....	18
2.4.2.5. Fenton Reaksi .....	19
2.5 Peneliti Terdahulu .....	19
BAB III METODE PENELITIAN .....	22
3.1 Rancangan Percobaan .....	22
3.2 Bahan Penelitian .....	22
3.3 Peralatan .....	23
3.4 Prosedur Percobaan .....	24
3.4.1 Percobaan Pendahuluan .....	24
3.4.1.1 Penentuan $\lambda$ Maksimum .....	24
3.4.1.2 Penentuan Kurva Standar .....	25
3.4.1.3 Penentuan Densitas Limbah .....	25
3.4.1.4 Kalibrasi Peristaltic Pump .....	26
3.4.1.5 Kalibrasi Rotameter .....	26
3.4.1.6 Penentuan Kurva RTD .....	27
3.4.1.7 Pembuatan Larutan Umpam .....	28
3.4.2 Percobaan utama .....	29
3.4.2.1 Start-Up .....	29
3.4.2.2 Pengoperasian .....	29
3.4.2.3 Prosedur Shut-down .....	30
3.5 Lokasi dan Pelaksanaan Kerja .....	32

BAB IV PEMBAHASAN .....	33
4.1 Percobaan Pendahuluan .....	33
4.1.1 Penentuan Panjang Gelombang ( $\lambda$ ) Maksimum .....	33
4.1.2 Penentuan Kurva Standar .....	34
4.1.3 Penentuan Densitas Limbah Pewarna Sintetis .....	35
4.1.4 Penentuan Kurva RTD .....	35
4.2 Percobaan Utama .....	37
4.2.1 Prosedur Percobaan Utama .....	38
4.2.2 Penentuan Konstanta Laju Degradasi dan Orde Reaksi .....	39
4.2.3 Perbandingan % Removal Setiap Tempuhan .....	43
 BAB V KESIMPULAN & SARAN .....	46
5.1 Kesimpulan .....	46
5.2 Saran .....	46
 DAFTAR PUSTAKA .....	47
 LAMPIRAN A LEMBAR DATA KESELAMATAN BAHAN .....	49
A.1 Hidrogen Peroksida .....	49
A.2 Natirum Hidroksida .....	50
A.3 Asam Nitrat .....	51
A.4 Ferrous Sulfate Heptahydrate .....	52
 LAMPIRAN B DATA PENELITIAN .....	53
B.1 Percobaan Pendahuluan .....	53
B.1.1 Penentuan Panjang Gelombang ( $\lambda$ ) Maksimum .....	53
B.1.2 Penentuan Kurva Standar .....	53
B.1.3 Penentuan Kurva RTD .....	54
B.2. Percobaan Utama .....	55
B.2.1 Tempuhan 1 .....	55
B.2.1 Tempuhan 1 .....	56
B.2.3 Tempuhan 3 .....	57
B.2.4 Tempuhan 4 .....	58

B.2.5 Tempuhan 5 .....	59
B.2.6 Tempuhan 6 .....	60
B.2.7 Tempuhan 7 .....	61
B.2.8 Tempuhan 8 .....	62
B.2.9 Tempuhan 9 .....	63
B.2.10 Tempuhan 10 .....	64
B.2.11 Tempuhan 11 .....	65
B.2.12 Tempuhan 12 .....	66
LAMPIRAN C DAFTAR GRAFIK .....	67
LAMPIRAN D CONTOH PERHITUNGAN .....	72
D.1 Pembuatan Umpaan Limbah .....	72
D.2 Penambahan H <sub>2</sub> O <sub>2</sub> .....	72
D.3 Penambahan Reagen Fenton .....	72
D.4 Perhitungan Hasil Percobaan .....	73
D.5 Perhitungan Konstanta Laju Reaksi .....	73

## DAFTAR GAMBAR

Gambar 2.1 Contoh reaksi penambahan elektrofilik .....	16
Gambar 2.2 Dekloronisasi pada fenol terklorinisasi menggunakan elektrofilik .....	16
Gambar 2.3 Reaksi overall fotolisis H <sub>2</sub> O <sub>2</sub> /UV .....	17
Gambar 2.4 Reaksi fotolisis pada O <sub>3</sub> /UV .....	18
Gambar 3.2 Prosedur Penentuan $\lambda$ Maksimum dengan Spektrofotometer .....	24
Gambar 3.3 Prosedur Penentuan Kurva Standar .....	25
Gambar 3.4 Prosedur Penentuan Densitas Air Limbah .....	25
Gambar 3.5 Prosedur kalibrasi peristaltic pump .....	26
Gambar 3.6 Gambar Prosedur Kalibrasi Rotameter .....	26
Gambar 3.7 Prosedur Penentuan Kurva RTD .....	27
Gambar 3.8. Prosedur Percobaan Pembuatan Umpam .....	28
Gambar 3.9. Prosedur <i>Start-Up</i> .....	29
Gambar 3.10 Prosedur Pengoerasian .....	29
Gambar 3.11 Prosedur <i>Shut-down</i> .....	30
Gambar 3.12 Skema Peralatan .....	31
Gambar 4.1 Panjang Gelombang Maksimum .....	34
Gambar 4.2 Kurva Standar <i>Dianix Yellow Ace</i> (DYA) .....	34
Gambar 4.3 Kurva perubahan konsentrasi tracer didalam reaktor setiap menit .....	36
Gambar 4.4 kurva E(t <sup>-1</sup> ) terhadap waktu .....	36
Gambar 4.5 Kurva F(t) terhadap waktu .....	37
Gambar 4.6 Sampel Keluaran Run 1 .....	39
Gambar 4.7 Sampel Setelah Sentrifugasi Run 1 .....	39
Gambar 4.8 Laju Degradasi Konsentrasi DYA terhadap Waktu .....	40

Gambar 4.9 Kurva Orde 1 semu pada Run 1 .....	41
Gambar 4.10 Kurva Orde 2 semu Run 1.....	41
Gambar 4.11 Kurva Orde 1,5semu Run 1.....	42
Gambar 4.12 Hasil <i>%removal</i> terhadap waktu pada Run 1 .....	44
Gambar 4.13 Grafik konsentrasi DYA terhadap waktu .....	49
Gambar C.1 Hasil <i>%removal</i> terhadap waktu pada Run 1.....	67
Gambar C.2 Hasil <i>%removal</i> terhadap waktu pada Run 2.....	67
Gambar C.3 Hasil <i>%removal</i> terhadap waktu pada Run 3.....	67
Gambar C.4 Hasil <i>%removal</i> terhadap waktu pada Run 4.....	68
Gambar C.5 Hasil <i>%removal</i> terhadap waktu pada Run 5.....	68
Gambar C.6 Hasil <i>%removal</i> terhadap waktu pada Run 6.....	68
Gambar C.7 Hasil <i>%removal</i> terhadap waktu pada Run 7.....	69
Gambar C.8 Hasil <i>%removal</i> terhadap waktu pada Run 8.....	69
Gambar C.9 Hasil <i>%removal</i> terhadap waktu pada Run 9.....	69
Gambar C.10 Hasil <i>%removal</i> terhadap waktu pada Run 10.....	70
Gambar C.11 Hasil <i>%removal</i> terhadap waktu pada Run 11.....	70
Gambar C.12 Hasil <i>%removal</i> terhadap waktu pada Run 12.....	70
Gambar C.13 Kurva konsentrasi tracer (ppm) vs waktu (menit) .....	71
Gambar C.14 Kurva $E(t^{-1})$ vs waktu (menit).....	71
Gambar C.15 Kurva F(t) terhadap waktu (menit) .....	71

## DAFTAR TABEL

Tabel 1.1 Premis .....	3
Tabel 2.1 Tabel Standar Baku Mutu Industri Tekstil .....	6
Tabel 2.2 Karakteristik Limbah Cair .....	7
Tabel 2.3 Jenis Pewarna yang digunakan pada Industri Tekstil.....	10
Tabel 2.4 Tabel <i>Oxidation Potential</i> .....	13
Tabel 2.5 Kombinasi Oksidan dengan Katalis pada Metode AOP.....	13
Tabel 3.1 Rancangan Percobaan.....	22
Tabel 3.3 Jadwal Kerja.....	32
Tabel 4.1 Penentuan Panjang Gelombang ( $\lambda$ ) Maksimum.....	33
Tabel 4.2 Nilai Titik Beku Senyawa $H_2O_2$ .....	40
Tabel 4.3 <i>Regression Statistics</i> .....	43
Tabel 4.4 Hasil Percobaan.....	43
Tabel 4.5 Hasil Analisa COD (Yohanes & Mitzi) .....	48

## **BAB I**

### **PENDAHULUAN**

#### **1.1 Latar Belakang**

Dalam era modern seperti saat ini, pakaian merupakan suatu kebutuhan primer untuk setiap orang. Industri tekstil mengalami peningkatan pesat akhir-akhir ini karena perkembangan zaman Bahan utama dari pembuatan pakaian adalah kain yang melalui banyak proses panjang.. Dalam industri tekstil, dilakukan berbagai macam proses yang setiap prosesnya menghasilkan limbah baik padat, gas maupun cair. Dengan adanya limbah yang dihasilkan tersebut, dapat menimbulkan dampak negatif terhadap lingkungan.

Dalam proses pembuatan pakaian, terdapat proses pewarnaan. Proses ini dilakukan untuk menambah nilai jual dari produk pakaian yang akan dijual. Untuk melakukan pewarnaan, dilakukan dengan memberi zat pewarna. Zat pewarna dalam industri tekstil digunakan pewarna sintetis yang lebih efisien, murah dan efektif. Zat warna yang digunakan dalam industri tekstil salah satunya adalah *Dianix Yellow Ace* (DYA).

Di Indonesia, banyak terdapat industri tekstil yang beroperasi dengan jumlah besar. Dengan banyaknya industri tekstil yang beroperasi di Indonesia, terjadi suatu masalah yang timbul pada sekitar industri tekstil. Masalah yang utama ditimbulkan adalah pencemaran limbah cair di industri tekstil. Limbah cair yang dihasilkan mengandung bahan yang beracun dan berbahaya yang sulit terurai karena pewarna sintetis yang digunakan dalam proses pewarnaan. Untuk menguraikan zat warna yang terkandung dalam limbah cair industri tekstil, dapat digunakan metode proses *Advanced Oxidation Process* (AOP). Metode AOP merupakan metode untuk menguraikan zat warna dari limbah cair yang dihasilkan industri tekstil agar dapat memenuhi persyaratan baku mutu air limbah sesuai peraturan pemerintah.

*Advanced Oxidation Processes* (AOP) dapat dijelaskan sebagai proses yang melibatkan pembentukan radikal aktif dari hidroksil ( $\bullet\text{OH}$ ) dalam jumlah cukup untuk proses penguraian air limbah dengan oksidator kuat. Oksidator kuat yang dipakai dapat berupa campuran ozon dengan hidrogen peroksida ( $\text{O}_3 + \text{H}_2\text{O}_2$ ), ozon dengan sinar ultraviolet ( $\text{O}_3 + \text{UV}$ ) dan campuran hidrogen peroksida dengan sinar ultraviolet ( $\text{H}_2\text{O}_2 + \text{UV}$ ). Radikal aktif hidroksil yang dilepaskan senyawa-senyawa diatas dengan cepat akan mengoksidasi polutan-polutan zat warna dalam air limbah (Glaze, dkk., 1987).

## 1.2 Tema Sentral Masalah

Tema sentral masalah dalam penelitian ini adalah mencari kondisi operasi proses pengolahan limbah tekstil DYA (*Dianix Yellow Ace*) dengan efektivitas yang paling tinggi dengan ditandai nilai %removal tertinggi dalam degradasi warna melalui proses AOP ( $\text{Fe}^{2+}/\text{H}_2\text{O}_2$ ). Dalam kondisi operasi proses memberikan pengaruh seperti perbandingan konsentrasi  $\text{H}_2\text{O}_2$  dengan  $\text{Fe}^{2+}$  dan konsentrasi  $\text{H}_2\text{O}_2$  limbah cair terhadap hasil pengolahan air limbah pewarna tekstil yang diolah dalam reaktor.

## 1.3 Identifikasi Masalah

1. Bagaimana pengaruh konsentrasi  $\text{H}_2\text{O}_2$  dalam limbah cair pada saat proses dekolorisasi terhadap %removal zat warna DYA?
2. Bagaimana pengaruh perbandingan mol antara  $\text{H}_2\text{O}_2$  dengan  $\text{Fe}^{2+}$  terhadap %removal warna DYA?

## 1.4 Premis

Premis dicantumkan dalam tabel 1.1

## 1.5 Tujuan Penelitian

Tujuan dilakukan penelitian adalah :

1. Mencari kondisi operasi proses yang memiliki efektivitas tertinggi ditandai dengan %removal seperti konsentrasi  $\text{H}_2\text{O}_2$  dan rasio  $\text{Fe}^{2+}/\text{H}_2\text{O}_2$ , dan limbah pewarna tekstil terhadap proses penguraian warna limbah pewarna tekstil.
2. Mengkaji kemungkinan pengolahan limbah pewarna tekstil *non-biodegradable* menggunakan sistem kontinu menjadi limbah yang *biodegradable*.
3. Mengkaji kemungkinan pengolahan limbah pewarna tekstil *non-biodegradable* pada industri tekstil dengan metode AOP  $\text{Fe}^{2+}/\text{H}_2\text{O}_2$  terhadap standar baku mutu limbah industri tekstil.

## 1.6 Manfaat Penelitian

1. Bagi industri tekstil, dapat memberi alternatif pengolahan limbah pewarnaan teksil agar sesuai dengan standar baku mutu limbah.
2. Bagi masyarakat, dapat memberikan pengetahuan tentang pengolahan limbah pewarnaan tekstil yang bersifat *non-degradable*.
3. Bagi pemerintah, dapat mengurangi pencemaran lingkungan dan meningkatkan kualitas limbah cair hasil pewarnaan tekstil.

**Tabel 1.1** Premis

Peneliti	Bahan Baku	Metode	Variabel	Kondisi Operasi	Hasil Terbaik
Stephen R., Octaviany, 2015	DYA (Dianix Yellow Ace)	UV/H <sub>2</sub> O <sub>2</sub> /TiO <sub>2</sub>	pH, konsentrasi awal H <sub>2</sub> O <sub>2</sub> , dan konsentrasi TiO <sub>2</sub>	- pH antara 1-11; - Konsentrasi H <sub>2</sub> O <sub>2</sub> : 0,01%w-1%w; - Konsentrasi TiO <sub>2</sub> : 0,8-3,00 g/L	- pH: 3; - Konsentrasi H <sub>2</sub> O <sub>2</sub> : 0,2%w - TiO <sub>2</sub> : 3 gr/L
Jackson A., Endro S., 2016	DDR (Drimaren Dark Red)	UV/H <sub>2</sub> O <sub>2</sub> /Fe <sup>2+</sup>	Konsentrasi awal H <sub>2</sub> O <sub>2</sub> dan Rasio mol Fe <sup>2+</sup> :H <sub>2</sub> O <sub>2</sub>	- pH 1-11; - Konsentrasi awal H <sub>2</sub> O <sub>2</sub> 0,022%w-0,078%w; - Rasio mol Fe <sup>2+</sup> :H <sub>2</sub> O <sub>2</sub> = 1:3 s/d 1:45	- pH: 3; - Konsentrasi awal H <sub>2</sub> O <sub>2</sub> : 0,05%w - Rasio mol Fe <sup>2+</sup> :H <sub>2</sub> O <sub>2</sub> = 1:22
Yohanes C., Mitzi K., 2017	DDR (Drimaren Dark Red)	UV/H <sub>2</sub> O <sub>2</sub>	Konsentrasi awal H <sub>2</sub> O <sub>2</sub> dan pH	- pH: 2,59-5,41; - Konsentrasi awal H <sub>2</sub> O <sub>2</sub> : 0,2172%-0,7828%w	- pH: 3,02; - Konsentrasi awal H <sub>2</sub> O <sub>2</sub> : H <sub>2</sub> O <sub>2</sub> : 0,3%w
Rathi A., Rajor H., Sharma R., 2003	DY12 (Direct Yellow-12)	UV/H <sub>2</sub> O <sub>2</sub> /Fe <sup>2+</sup>	pH dan konsentrasi H <sub>2</sub> O <sub>2</sub> /Fe <sup>2+</sup>	- pH: 4-10,5; - Konsentrasi H <sub>2</sub> O <sub>2</sub> /Fe <sup>2+</sup> : 450/150 mg/L - 1950/650 mg/L	- pH: 4; - Konsentrasi H <sub>2</sub> O <sub>2</sub> /Fe <sup>2+</sup> : H <sub>2</sub> O <sub>2</sub> /Fe <sup>2+</sup> : 1500/500 mg/L

Tabel 1.1 Premis (lanjutan)

Peneliti	Bahan Baku	Metode	Variabel	Kondisi Operasi	Hasil Terbaik
Ntamplegiotis K., Riga A., et al, 2005	Procion H-exl Dyes	H <sub>2</sub> O <sub>2</sub> /Fe <sup>3+</sup> konsentrasi FeCl <sub>3</sub>	pH, konsentrasi H <sub>2</sub> O <sub>2</sub> , konsentrasi FeCl <sub>3</sub>	- pH: 1-9 - Konsentrasi FeCl <sub>3</sub> : 0,01% <sub>w</sub> -1% <sub>w</sub> - Konsentrasi H <sub>2</sub> O <sub>2</sub> : 0,02% <sub>w</sub> -10% <sub>w</sub>	- pH: 3-4; - Konsentrasi FeCl <sub>3</sub> : 0,005% <sub>w</sub> & 1% <sub>w</sub> - Konsentrasi H <sub>2</sub> O <sub>2</sub> : 0,2% <sub>w</sub> & 2% <sub>w</sub>
Bin, Georgeous., 2018	DYA (Dianix Yellow Ace)	UV/H <sub>2</sub> O <sub>2</sub> /Fe <sup>2+</sup>	Konsentrasi awal H <sub>2</sub> O <sub>2</sub> , rasio mol Fe <sup>2+</sup> :H <sub>2</sub> O <sub>2</sub>	- Konsentrasi awal H <sub>2</sub> O <sub>2</sub> : 0,03%-0,07% <sub>w/w</sub> - Rasio mol Fe <sup>2+</sup> :H <sub>2</sub> O <sub>2</sub> = 1:12,5 s/d 1:50	- Konsentrasi awal H <sub>2</sub> O <sub>2</sub> : 0,05% <sub>w/w</sub> - Rasio mol Fe <sup>2+</sup> :H <sub>2</sub> O <sub>2</sub> = 1:14
Andriany, W., Hariyanto, G., 2011	DYA (Dianix Yellow Ace)	UV/H <sub>2</sub> O <sub>2</sub>	pH, konsentrasi awal H <sub>2</sub> O <sub>2</sub>	- pH: 0,17 – 5,83 - Konsentrasi awal H <sub>2</sub> O <sub>2</sub> : 0,026%-0,874% <sub>w/w</sub>	- pH: 3,35 - Konsentrasi awal H <sub>2</sub> O <sub>2</sub> : H <sub>2</sub> O <sub>2</sub> : 0,53%